

УДК 535.2

ФЕМТОСЕКУНДНОЕ ФОТОННОЕ ЭХО
В ПОЛИМЕРНОЙ ПЛЕНКЕ, ЛЕГИРОВАННОЙ
МОЛЕКУЛАМИ КРАСИТЕЛЯ,
ПРИ КОМНАТНОЙ ТЕМПЕРАТУРЕ

*А.В. Леонтьев, К.В. Иванин, В.С. Лобков, Г.М. Сафиуллин,
А.Е. Климовицкий, К.М. Салихов, В.В. Самарцев*

Аннотация

Обнаружены и исследованы сигналы первичного и стимулированного фемтосекундного фотонного эха в поливинилбутиラлевой пленке, легированной молекулами фталоцианина, при комнатной температуре, причем сигнал стимулированного эха при столь высокой температуре наблюден впервые. Сняты кривая спада и спектр сигнала первичного фемтосекундного фотонного эха.

Введение

В настоящее время сформирована новая область лазерной нестационарной спектроскопии, основанная на исследовании сигналов фотонного эха, – оптическая эхо-спектроскопия, представляющая собой мощный метод исследования быстро протекающих процессов в веществе. Активно разрабатываются оптические эхо-процессоры [1], работа которых основана на явлении фотонного эха, возбуждаемого ультракороткими лазерными импульсами.

Подавляющее число оптических эхо-экспериментов в твердом теле поставлено при температуре жидкого гелия. Это связано с необходимостью подавления релаксационных процессов с участием тепловых фононов, что происходит в результате удлинения характеристических времен этих необратимых процессов релаксации [2].

Использование фемтосекундных лазерных импульсов позволяет снять эти ограничения и довести температуру образца в эхо-экспериментах до комнатных температур [3].

Данная работа посвящена экспериментальному поиску и исследованию фемтосекундного фотонного эха в полимерных пленках, легированных молекулами красителя, при комнатной температуре. Подобные материалы являются прототипами недорогих компактных носителей информации высокой плотности для использования в оптических эхо-процессорах [1].

В настоящей работе в качестве исследуемого образца использована полимерная пленка поливинилбутираля PVB толщиной 65 мкм, легированная молекулами фталоцианина марки HW 1009 в концентрации $10^{-3} - 10^{-4}$ моль/л. Ранее было экспериментально установлено [5], что длина волны линии поглощения пленок, легированных этими молекулами на энергетическом переходе $S_0 - S_1$, составляет 780 нм, что совпадает с рабочей длиной волны их титан-сапфирового лазера и аналогичного усилителя, использовавшихся в нашем эксперименте.

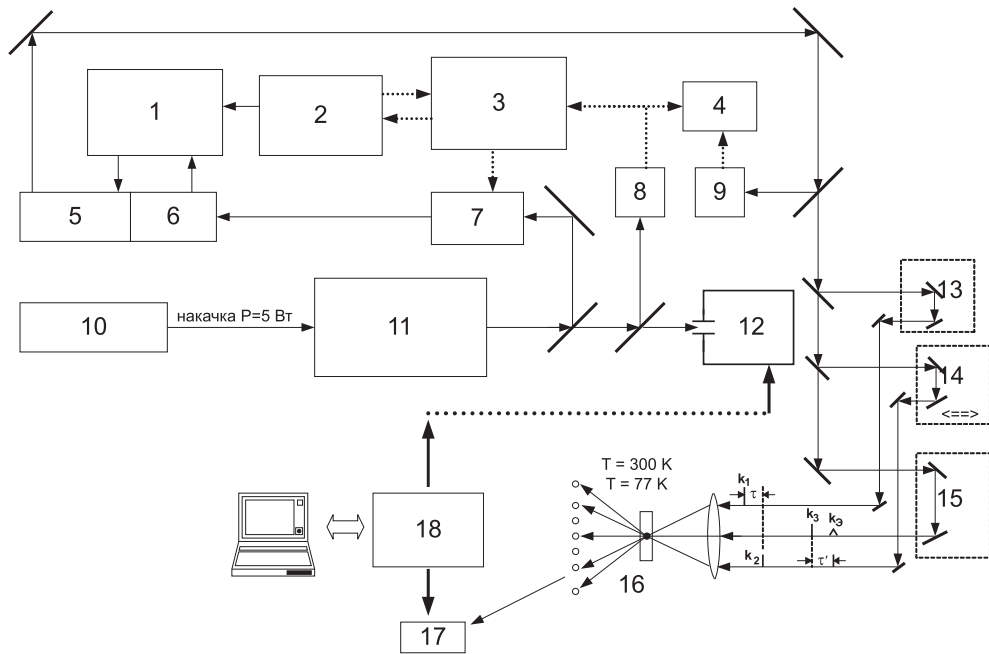


Рис. 1. Блок-схема экспериментальной установки по обнаружению фемтосекундного фотонного эха (ФФЭ) и самодифракции в полимерной пленке, легированной молекулами красителя: 1 – усилитель (Ti:S), 2 – YAG-лазер, 3 – блок синхронизации, 4 – осциллограф, 5 – компрессор, 6 – стретчер, 7 – ячейка Поккельса, 8, 9 – PIN-диоды, 10 – Ar-лазер, 11 – фемтосекундный лазер (Ti:S), 12 – полихроматор, 13, 14, 15 – оптические линии задержки, 16 – образец, 17 – полихроматор, 18 – система сбора данных, k_1 , k_2 , k_3 , k_e – волновые векторы, соответственно, первого, второго, третьего импульсов и эхо-сигнала

1. Экспериментальная установка

В качестве источника возбуждения в экспериментах использовалась лазерная система "Avesta Ltd" (Россия, г. Троицк, Московская обл.), включающая в себя фемтосекундный Ti:S-лазер TISSA100, с накачкой Ar-лазера ЛГН-512, и усилитель на кристалле Ti:S. Средняя выходная мощность Ti:S-лазера составляла 600 мВт при мощности накачки 6 Вт, длительность импульсов 50–60 фс, частота следования импульсов составляла 100 МГц. Усилитель представлял собой шестипроходную систему из конфокальных зеркал с предварительным чирпированием импульсов, подлежащих усилению, и последующим оптическим сжатием после усиления. Эффективность усиления достигала примерно 10^5 при накачке усилителя второй гармоникой YAG:Nd-лазера с энергией 10 мДж (фирма LOTIS, Беларусь). Энергия усиленного импульса составляла 600 мкДж. Частота следования импульсов после усиления составляла 50 Гц. Спектральные характеристики сигналов контролировались полихроматорами, сигналы с которых поступали в систему сбора данных.

Импульсы с волновыми векторами k_1 , k_2 , k_3 , разделенные во времени при помощи оптических линий задержки (ОЛЗ), направлялись на образец. При двухимпульсном возбуждении образца (перекрыт канал пучка k_3) наблюдался сигнал первичного фемтосекундного фотонного эха (ПФФЭ) в направлении, заданном волновым вектором $k_e = 2k_2 - k_1$. В случае возбуждения образца тремя импульсами в направлении $k_e = k_1 + k_2 + k_3$ наблюдался сигнал стимулирован-

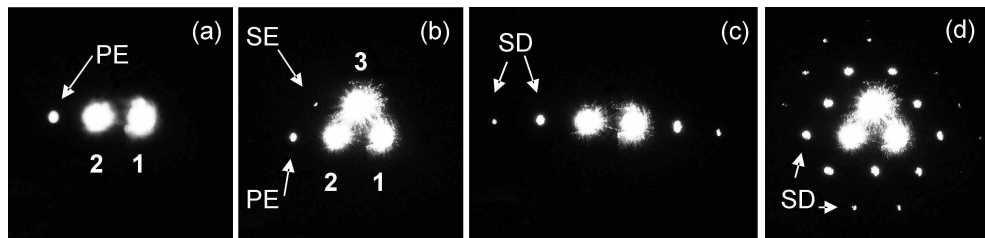


Рис. 2. Фотографии «следов» на экране от возбуждающих импульсов, эхо-сигналов и сигналов самодифракции: 1, 2, 3 – первый, второй и третий импульсы соответственно, РЕ – сигнал ПФФЭ, СЕ – сигнал СФФЭ, прочие слабые «следы» – сигналы самодифракции

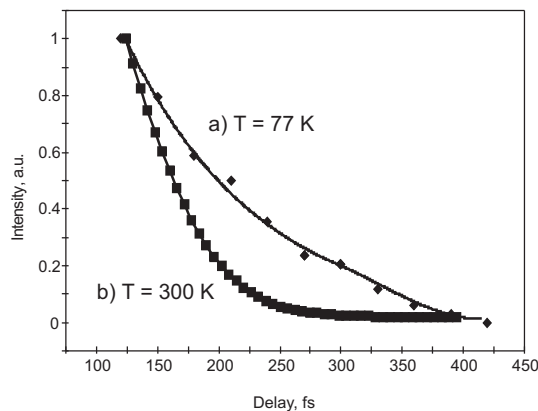


Рис. 3. Зависимость относительной интенсивности ПФФЭ от времени задержки τ (кривая спада) при температуре жидкого азота (a) и при комнатной температуре (b)

ного фемтосекундного фотонного эха (СФФЭ). Визуально наличие сигналов ФФЭ можно было проследить, наблюдая «следы» на экране, помещенном за образцом (рис. 2). Временной интервал между первым и вторым возбуждающими импульсами варьировался с помощью линии задержки от 150 до 450 фс, а временной интервал τ' между вторым и третьим импульсами при наблюдении стимулированного ФФЭ составлял 150–170 фс.

При двухимпульсном возбуждении и нулевом значении задержки между первыми двумя импульсами k_1 , k_2 , на экране видна симметричная картина – первые порядки сигналов самодифракции (рис. 2, c). С увеличением задержки (рис. 2, a) сигналы самодифракции исчезают, и наблюдается только сигнал ПФФЭ на месте первого порядка дифракции. При дальнейшем увеличении задержки зафиксирован временной спад интенсивности эхо-сигнала. При возбуждении образца тремя импульсами также видна система «следов» сигналов самодифракции (рис. 2, d), с увеличением задержки между k_1 и k_2 наблюдаются сигналы ПФФЭ и СФФЭ (рис. 2, b).

2. Результаты и обсуждение

В данном эксперименте были сняты зависимости относительной интенсивности первичного ФФЭ от временного интервала τ между возбуждающими импульсами, полученные при температуре жидкого азота (a) и при комнатной (b) температуре.

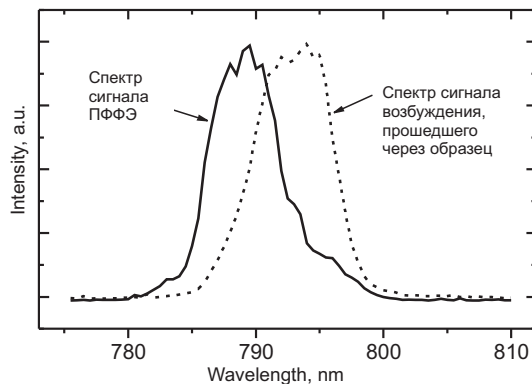


Рис. 4. Спектр сигнала ПФФЭ, полученный при комнатной температуре (сравнение с нормированным спектром сигнала возбуждения, прошедшего через образец)

Они приведены на рис. 3. Спектр этого сигнала приведен на рис. 4 с полушириной $3 \cdot 10^{13} c^{-1}$.

Анализ кривых (3a, 3b) показывает, что они не могут быть описаны простой экспоненциальной функцией. В таких ситуациях обычные оптические уравнения Блоха не описывают процессы фазовой релаксации [3]. Дело в том, что оптическая полоса поглощения примесных центров состоит из узкой бесфононной линии (БФЛ) лоренцевской формы и широкого фононного крыла (ФК). При сильном взаимодействии, реализующемся при комнатной температуре образца, БФЛ практически отсутствует. В этих условиях сигнал ФФЭ формируется примесными центрами, возбуждаемыми через фононное крыло, а кривая спада может быть описана функцией $F(\tau, T)$ (где τ – время задержки, T – температура образца), зависящей от типа электрон-фононного взаимодействия [3]. Поэтому, в принципе, из кривой спада ФФЭ можно определить силу электрон-фононного взаимодействия.

Отметим, что в этом режиме можно организовать процесс когерентного лазерного охлаждения, когда фотоны когерентного отклика будут уносить из образца энергию фононов, участвующих в электронно-колебательных переходах.

Настоящие исследования поддержаны РФФИ (проекты № 05-02-16003, 06-02-16491), Договором между КФТИ КНЦ РАН и НЦВТ ИОФ РАН, Программой «Ведущие научные школы» (№ НШ-1905.2003.02), Договором между КФТИ КНЦ РАН и ФИ РАН и Программой ОФН РАН «Оптическая спектроскопия и стандарты частоты».

Авторы благодарны профессору А.К. Ребане за предоставленные образцы.

Summary

A.V. Leontiev, K.V. Ivanin, V.S. Lobkov, G.M. Safiullin, A.E. Klimovitskiy, K.M. Salikhov, V.V. Samartsev. Femtosecond photon echo in dye-doped polymer film at room temperature.

The two-pulse and three-pulse (stimulated) photon echoes are observed in polyvinylbutural film activated by the phthalocyanine molecules at room temperature. The intensity decay and spectrum of the two-pulse photon echo are investigated.

Литература

1. Калачев А.А., Самарцев В.В. Когерентные явления в оптике. – Казань: Изд-во Казан. ун-та, 2003. – 281 с.
2. Маныкин Э.А., Самарцев В.В. Оптическая эхо-спектроскопия. – М.: Наука, 1984. – 270 с.
3. Lobkov V.S., Salikhov K.M., Samartsev V.V., Safiullin G.M., Zuikov V.A. Femtosecond photon echo in dye-doped polymer film at room temperature // Laser Phys. Lett. – 2005. – V. 3, No 1 – P. 26–30.
4. Контуров С.В., Зуйков В.А., Лобков В.С., Салихов К.М., Сафиуллин Г.М., Самарцев В.В. Обнаружение фемтосекундного фотонного эха в полимерной пленке, легированной молекулами красителя, при температуре жидкого азота // Когерентная оптика и оптическая спектроскопия. – Казань, 2004. – С. 282.
5. Zuikov V.A., Ferri M., Ollikainen O. et al. Wave-matching of femtosecond and picosecond photon echoes in dye-doped polymer films // Laser Phys. – 1996. – V. 6, No 4. – P. 729–734.

Поступила в редакцию
17.02.06

Леонтьев Андрей Владимирович – студент физического факультета Казанского государственного университета.

Иванин Константин Валерьевич – студент физического факультета Казанского государственного университета.

Лобков Владимир Сергеевич – кандидат физико-математических наук, заместитель заведующего лаборатории МФХ Казанского физико-технического института им. Е.К. Завойского КНЦ РАН.

Сафиуллин Георгий Маратович – кандидат физико-математических наук, старший научный сотрудник лаборатории МФХ Казанского физико-технического института им. Е.К. Завойского КНЦ РАН.

Климовицкий Александр Евгеньевич – кандидат физико-математических наук, научный сотрудник лаборатории физической химии Химического института им. А.М. Бутлерова Казанского государственного университета.

Салихов Кев Минуллинович – доктор физико-математических наук, директор Казанского физико-технического института им. Е.К. Завойского КНЦ РАН.

E-mail: salikhov@kfti.knc.ru

Самарцев Виталий Владимирович – доктор физико-математических наук, академик РАН, профессор, заведующий лабораторией нелинейной оптики Казанского физико-технического института им. Е.К. Завойского КНЦ РАН.

E-mail: samartsev@kfti.knc.ru